

UV Traitement du signal

Cours 6

Du signal continu au signal numérique
Échantillonnage, reconstruction et quantification

ASI 3

Contenu du cours

□ Introduction

- ◆ Pourquoi numériser ?
- ◆ Chaîne de numérisation

□ Echantillonnage idéal

- ◆ Définition
- ◆ TF du signal échantillonné – Analyse du spectre
- ◆ Théorème de Shannon

□ Echantillonnage réel

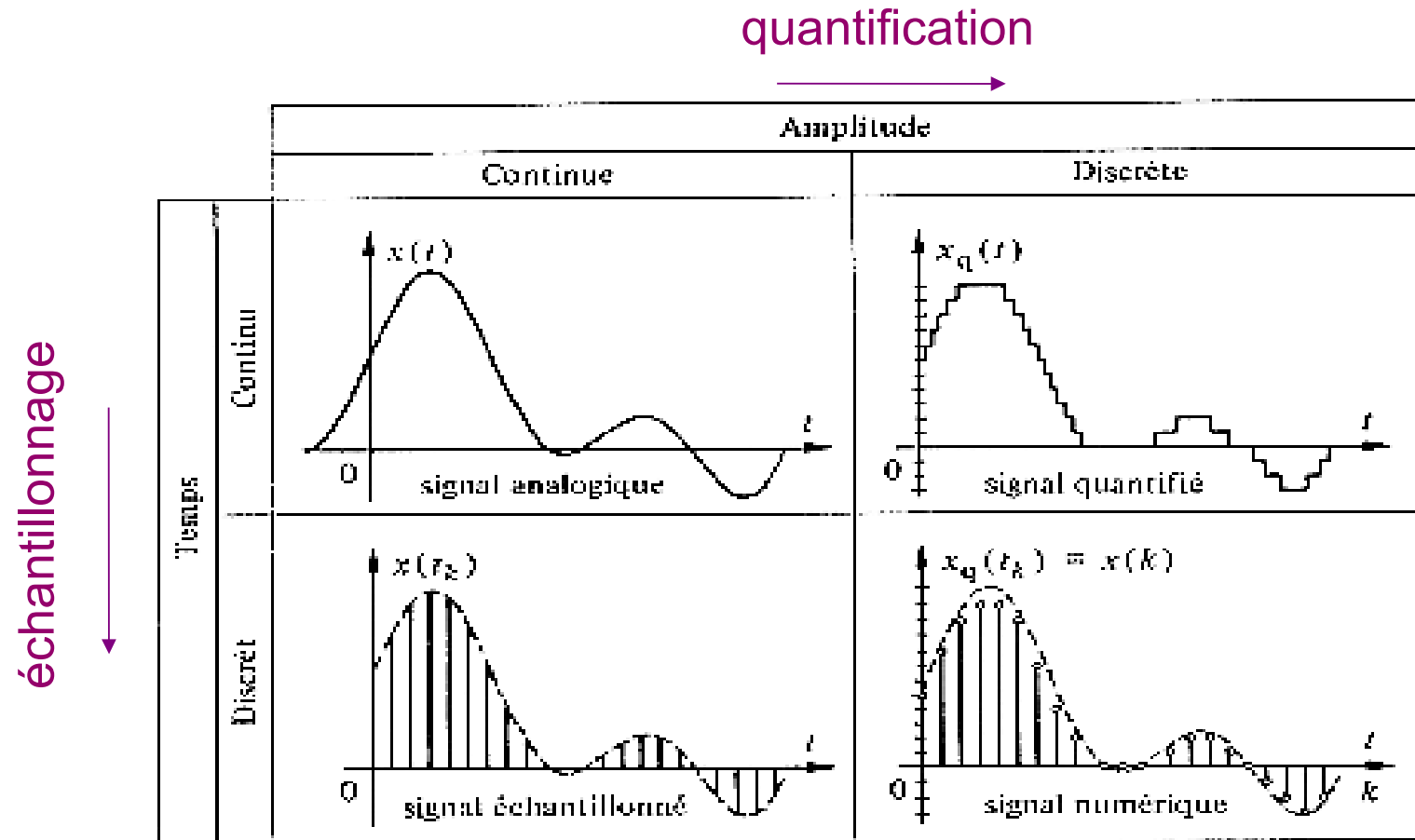
- ◆ Définition
- ◆ Influence sur le spectre du signal échantillonné

□ Filtrage anti-repliement

□ Reconstruction du signal

□ Quantification

Du signal analogique au signal numérique



- Donc un signal numérique est une suite de valeurs
- Ces valeurs sont codées sur un certain nombre de bits
- C'est donc une suite de 0 et de 1 ...

Introduction

❏ Propriétés du numérique, c'est à dire du codage en 0/1

- ◆ La numérisation d'un signal est une perte d'information...
- ◆ Permet d'effectuer les traitements sur des machines informatiques, spécialisées dans le TS ou non (DSP, PC)
 - Puissance, rapidité, coût
 - Flexibilité (système numérique = logiciel : facile à modifier, ex. : modems numériques), contrairement aux montages électroniques ...
- ◆ Codage interne des 0 et des 1 souvent en 0/5V : A priori pas d'altération du signal, robuste au bruit une fois numérisé
 - Exemple : un 0 codé sur 0V parasité par un bruit de 0.5V sera toujours un 0 ...
 - Précision insensible au temps, à la température, à l'usure du système, etc.
 - Pas d'erreur lors de la transmission, la recopie, le stockage, etc.
- ◆ Adéquation entre simulation et traitement : simuler du numérique, c'est en faire !

Introduction

□ Applications

- ◆ TV numérique
- ◆ Enregistrement audio, vidéo
- ◆ Téléphonie mobile.
- ◆ ...

□ Attention : on ne peut pas dire que Numérique > analogique

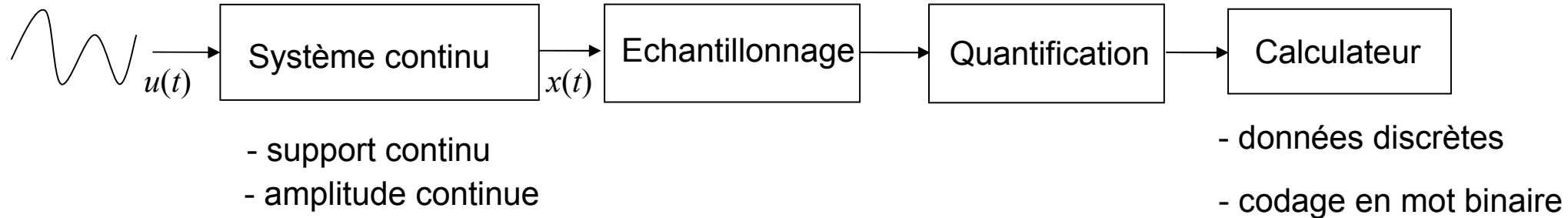
- ◆ Dépend de la qualité de l'échantillonnage et de la quantification
- ◆ Certains disent que le signal perd une partie de son âme ...

□ On ne peut pas dire l'inverse non plus !

Il est nécessaire de comprendre comment se fait le passage du monde analogique à celui du numérique. Dans ce cours, on se placera dans le contexte de signaux réels.

Introduction

❑ Chaîne de numérisation



❑ Echantillonnage

Prélèvement de la valeur du signal continu $x(t)$ à des intervalles de temps t_n . Généralement les t_n sont régulièrement espacés ; $T_e = t_{n+1} - t_n$ est appelé période d'échantillonnage. On obtient la suite de valeurs $x_e(t) = \{x(t_n)\}$ avec $t_n = nT_e$.

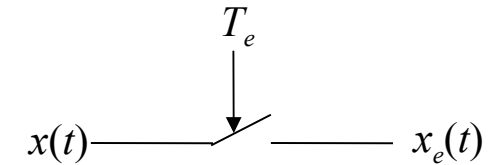
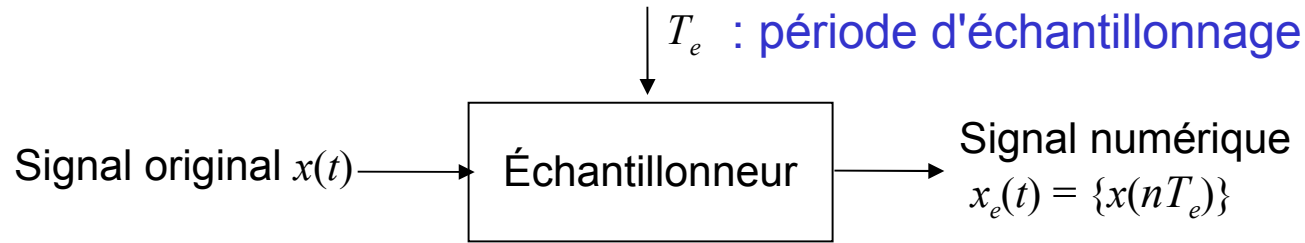
❑ Quantification

Approximation de chaque valeur $x_e(t)$ par un multiple entier d'une quantité élémentaire q appelée échelon de quantification.

❑ Codage binaire

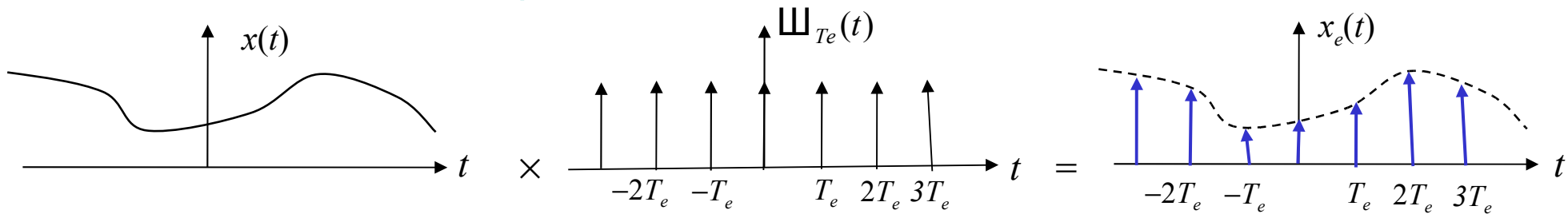
Transformation de la valeur quantifiée en mot binaire exploitable par le calculateur

Échantillonnage idéal



Échantillonnage idéal : prélèvement pendant un temps infiniment court des valeurs de $x(t)$ à $t = nT_e$ (multiple entier de T_e).

Modélisation mathématique



L'échantillonnage correspond à la multiplication de $x(t)$ par un peigne de Dirac $\mathbb{W}_{T_e}(t)$

$$x_e(t) = x(t) \cdot \mathbb{W}_{T_e}(t) \longrightarrow x_e(t) = x(t) \cdot \sum_{n=-\infty}^{+\infty} \delta(t - nT_e)$$

En utilisant la propriété $x(t) \cdot \delta(t - t_0) = x(t_0) \cdot \delta(t - t_0)$, on obtient : $x_e(t) = \sum_{n=-\infty}^{+\infty} x(nT_e) \delta(t - nT_e)$

TF du signal échantillonné

Question : que devient le spectre du signal $x(t)$ après échantillonnage idéal?

$\mathcal{F}[x_e(t)] = \mathcal{F}[x(t) \cdot \text{II}_{T_e}(t)]$. D'après le théorème de Plancherel, on a :

$$\mathcal{F}[x_e(t)] = \mathcal{F}[x(t)] * \mathcal{F}[\text{II}_{T_e}(t)]$$

Or la TF du peigne de Dirac est : $\mathcal{F}[\text{II}_{T_e}(t)] = F_e \sum_{n=-\infty}^{+\infty} \delta(f - nF_e)$. On en déduit :

$$\mathcal{F}[x_e(t)] = X(f) * F_e \sum_{n=-\infty}^{+\infty} \delta(f - nF_e)$$

Comme le produit de convolution est distributif et que $y(t) * \delta(t - t_0) = y(t - t_0)$, on a alors :

$$X_e(f) = F_e \cdot \sum_{n=-\infty}^{+\infty} X(f - nF_e) \quad \text{avec} \quad F_e = \frac{1}{T_e} \quad F_e : \text{fréquence d'échantillonnage}$$

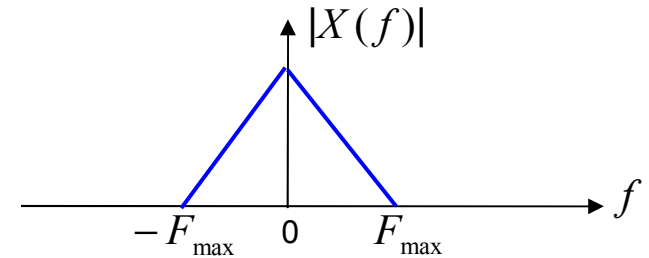
Le spectre de $X_e(f)$ est celui de $X(f)$ "périodisé" avec une période fréquentielle F_e .

L'échantillonnage dans le domaine temporel se traduit par une "périodisation" de période F_e dans le domaine fréquentiel.

Analyse du spectre de $x_e(t)$

On considère que $x(t)$ est un signal réel dont le spectre est borné en fréquence, de fréquence maximale F_{\max} i.e.

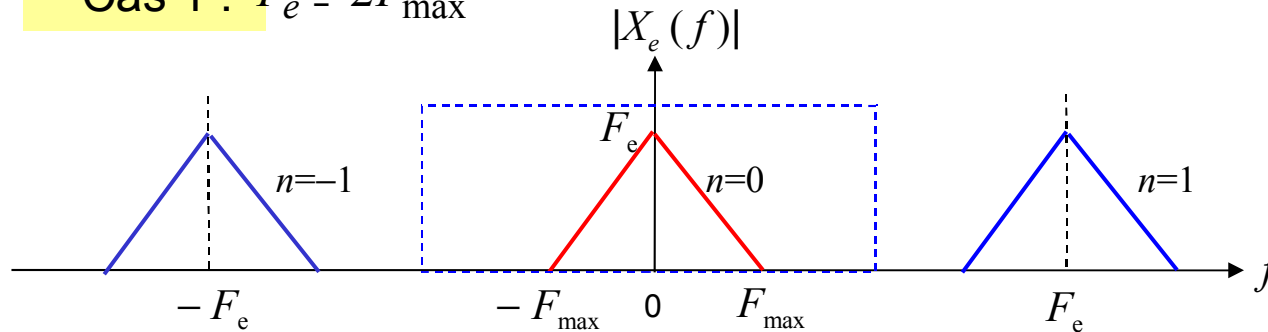
$$\forall |f| > F_{\max}, |X(f)| = 0$$



Question : que devient le spectre $X_e(f)$ en fonction de F_e ?

$$X_e(f) = F_e \cdot \sum_{n=-\infty}^{+\infty} X(f - nF_e)$$

■ **Cas 1** : $F_e \geq 2F_{\max}$

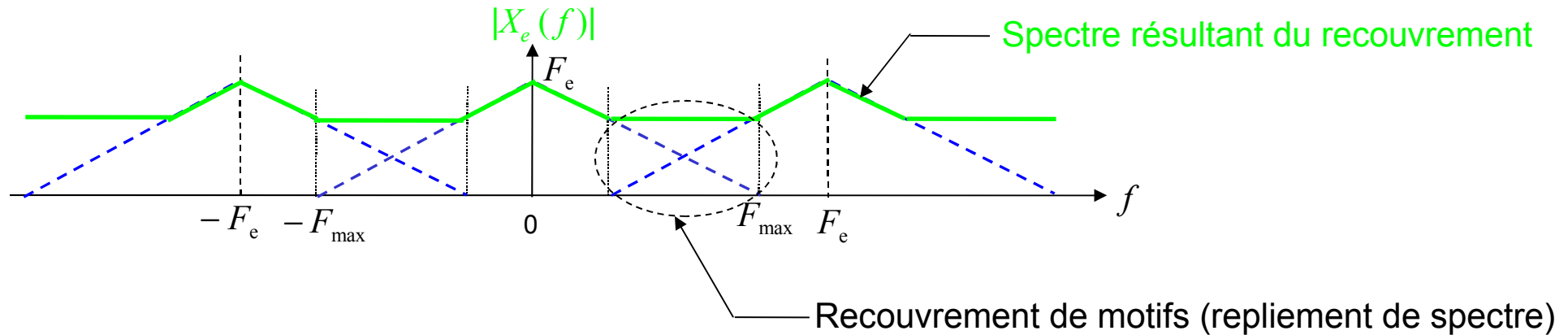


Les motifs élémentaires de $|X_e(f)|$ sont disjoints (pas de recouvrement des motifs)

Le motif principal ($n = 0$) est égal au spectre de $x(t)$. Comme les motifs sont disjoints, on peut extraire $X(f)$ grâce à un filtre passe-bas idéal et donc reconstituer intégralement le signal $x(t)$ à partir de la connaissance de son échantillonné $x_e(t)$.

Analyse du spectre de $x_e(t)$

■ Cas 2 : $F_e < 2F_{\max}$



Les motifs élémentaires de $|X_e(f)|$ se recouvrent. On parle de repliement de spectres.

A cause du chevauchement des motifs élémentaires constituant le spectre $X_e(f)$ du signal échantillonné, il n'est pas possible de récupérer le spectre $X(f)$ par un filtrage approprié. Il n'est donc pas possible de reconstruire le signal initial $x(t)$ à partir de la connaissance de son échantillonné $x_e(t)$.

Théorème de Shannon

Question : quelle est la condition sur F_e pour qu'à partir du signal échantillonné $x_e(t)$, on puisse reconstruire intégralement $x(t)$?

- $F_e \geq 2F_{\max}$: pas de recouvrement de spectre \rightarrow extraction de $X(f)$ par filtrage passe-bas idéal
- $F_e < 2F_{\max}$: repliement de spectre \rightarrow impossibilité de récupérer $X(f)$ par filtrage

Par conséquent, pour que la répétition périodique du spectre de $x_e(t)$ ne déforme pas le spectre $X(f)$ répété, il faut et il suffit que $F_e \geq 2F_{\max}$

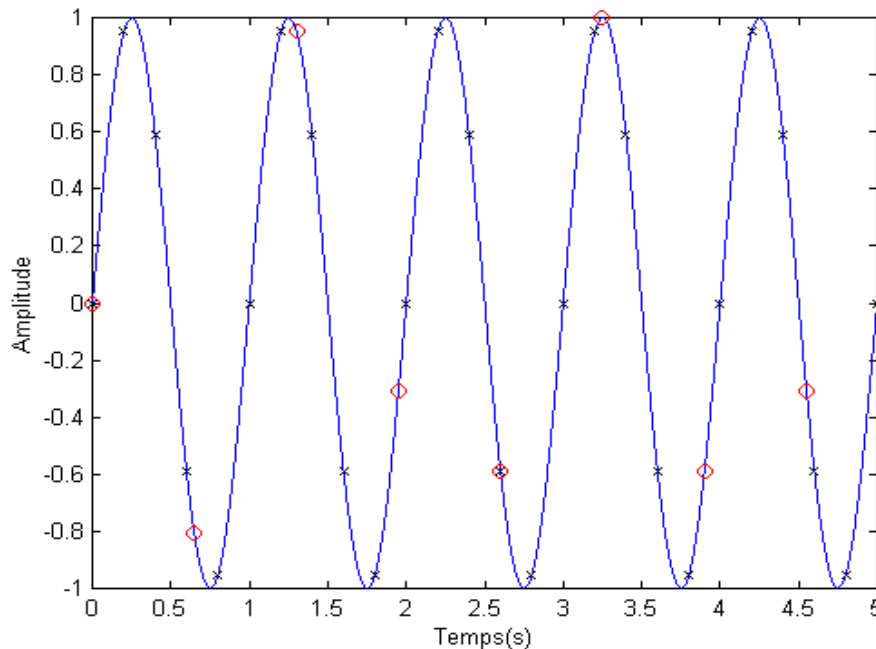
□ Enoncé du théorème de Shannon

La condition nécessaire et suffisante pour échantillonner un signal sans perte d'information est que la fréquence d'échantillonnage F_e soit supérieure ou égale au double de la fréquence maximale du signal. Plus précisément, si on note F_{\max} la fréquence maximale du signal, il faut et il suffit que : $F_e \geq 2F_{\max}$.

Pour F_e fixée, $\frac{F_e}{2}$ est appelée **fréquence de Nyquist** : c'est la fréquence maximale admissible du signal pour éviter les distorsions de spectre

Exemples

Exemple 1



$$x(t) = \sin(2\pi t)$$

$$F_{max} = 1$$

$$T_e = 0.2 \text{ s} \Rightarrow F_e = 5 > 2 \cdot F_{max} \Rightarrow \text{OK}$$

$$T_e = 0.65 \text{ s} \Rightarrow F_e = 1/0.65 < 2 \cdot F_{max}$$

Exemple 2

Soit un "La" dont la Fréquence est 440Hz. Ce signal s'écrit : $x(t) = \sin(2\pi 440t)$

Sous matlab, on est en numérique, donc le temps est discret = échantillonnage à F_e .

Echantillonnage d'un "La" à une fréquence F_e donnée :
(essayer avec $F_e = 10000, 5000, 2000, 1000, 881, 600$, etc)

```
Fe= ???;  
t= 0:1/Fe:2;  
x=sin(2*pi*440*t);  
sound(x, Fe);
```

Exemple 3

Quelle est la fréquence d'échantillonnage du CD ? ...

Échantillonnage réel

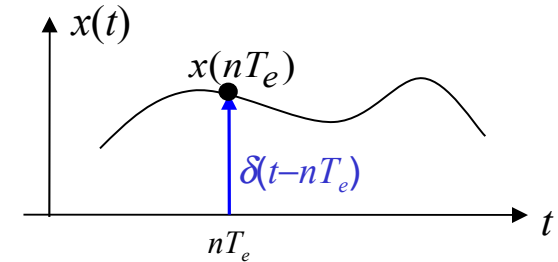
□ Echantillonnage idéal

L'échantillonnage idéal suppose l'utilisation d'une impulsion infiniment brève permettant d'extraire la valeur instantanée $x(nT_e)$ à l'instant nT_e . C'est donc l'application de la distribution $\delta(t - nT_e)$ au signal continu $x(t)$:

$$\text{Par définition : } x_e(nT_e) = \int_{-\infty}^{+\infty} x(\tau) \cdot \delta(\tau - nT_e) d\tau$$

On remarque que : $x(t) * \delta(-t) = \int_{-\infty}^{+\infty} x(\tau) \cdot \delta(\tau - t) d\tau$. On en déduit alors $x_e(nT_e) = x(t) * \delta(-t)|_{t=nT_e}$

L'échantillonneur est assimilable à un filtre de réponse impulsionnelle $\delta(-t)$



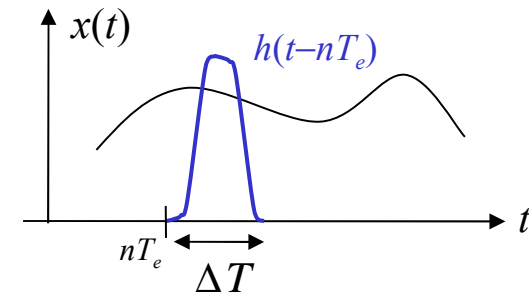
□ Echantillonnage réel

En pratique, on n'a pas une impulsion infiniment brève et l'échantillonneur est assimilable à un filtre de réponse impulsionnelle $h(-t)$.

Expression d'un échantillon réel : $\tilde{x}_e(nT_e) = x(t) * h(-t)|_{t=nT_e}$
 $\tilde{x}_e(nT_e) = [x(t) * h(-t)] \delta(t - nT_e)$

D'où l'expression du signal échantillonné réel :

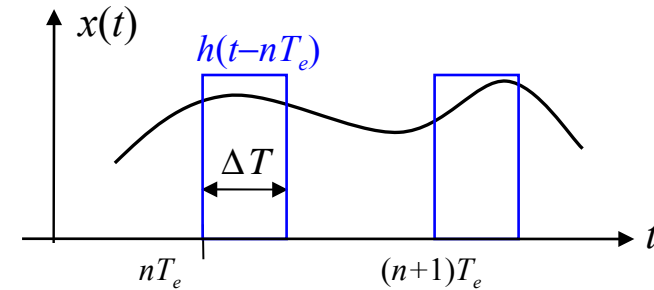
$$\tilde{x}_e(t) = [x(t) * h(-t)] \sum_{n=-\infty}^{\infty} \delta(t - nT_e)$$



Échantillonnage réel

Exemple : échantillonnage réel par moyennage simple

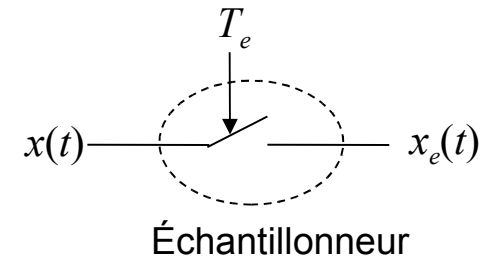
L'échantillonneur moyeneur donne des échantillons correspondant à la valeur moyenne de $x(t)$ prise sur un intervalle de durée ΔT .



On prend $h(t)$ comme
$$h(t) = \frac{1}{\Delta T} \Pi_{\Delta T} \left(t - \frac{\Delta T}{2} \right)$$

Expression du signal échantillonné

$$\tilde{x}_e(t) = \sum_{n=-\infty}^{+\infty} \tilde{x}_e(nT_e) \delta(t - nT_e)$$



Avec :

$$\left. \begin{aligned} \tilde{x}_e(nT_e) &= [x(t) * h(-t)] \delta(t - nT_e) \\ \tilde{x}_e(nT_e) &= \dots \\ \tilde{x}_e(nT_e) &= \frac{1}{\Delta T} \int_{nT_e}^{nT_e + \Delta T} x(t) dt \end{aligned} \right\}$$

1 seul échantillon :
valeur moyenne de $x(t)$ prise sur un intervalle de durée ΔT
(temps de fermeture de l'interrupteur)

$$\tilde{x}_e(nT_e) = \frac{1}{\Delta T} \int_{nT_e}^{nT_e + \Delta T} x(t) dt$$

TF d'un signal échantillonné

Question : que devient le spectre du signal $x(t)$ après échantillonnage réel?

L'expression du signal échantillonné avec un échantillonneur réel est :

$$\tilde{x}_e(t) = [x(t) * h(-t)] \cdot \sum_{n=-\infty}^{+\infty} \delta(t - nT_e)$$

D'après Plancherel, on a :

$$\tilde{X}_e(f) = \underbrace{[X(f) \cdot H(-f)]^*}_{\text{}} F_e \sum_{n=-\infty}^{+\infty} \delta(f - nF_e)$$

Or $H(-f) = H^*(f)$ pour une réponse impulsionnelle h réelle

D'où :

$$\tilde{X}_e(f) = F_e \sum_{n=-\infty}^{+\infty} X(f - nF_e) \cdot H^*(f - nF_e)$$

Rappel : pour un ech. Idéal, on avait :

$$X_e(f) = F_e \cdot \sum_{n=-\infty}^{+\infty} X(f - nF_e)$$

□ Interprétation

L'expression de $\tilde{X}_e(f)$ est identique à $X_e(f)$ à un terme de pondération $H^*(f)$ près.

- Le terme de pondération n'influe pas sur la condition de Shannon.
- Le terme $H^*(f)$ introduit une distorsion sur le spectre par rapport au cas idéal. Cette distorsion est d'autant plus faible que $H(f)$ est constante dans la bande $[-F_e/2, F_e/2]$.

Exemple d'échantillonnage réel

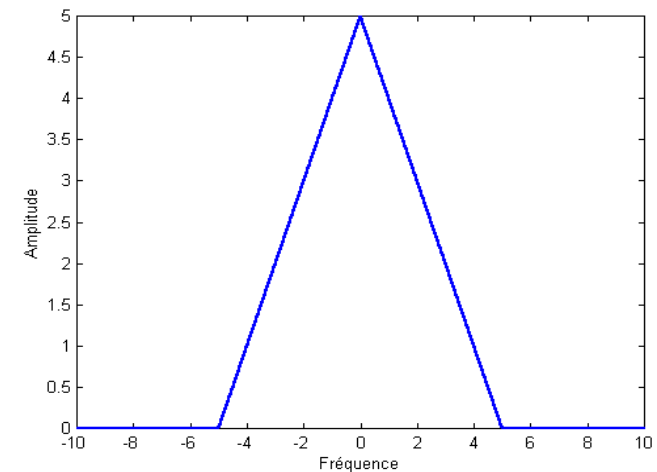
Soit $x(t)$ un signal dont le spectre est à support borné

On réalise un échantillonnage réel par moyennage simple

$$h(t) = \frac{1}{\Delta T} \Pi_{\Delta T} \left(t - \frac{\Delta T}{2} \right) \quad \text{donc} \quad H(f) = \text{sinc}(\pi f \Delta T) e^{-j\pi f \Delta T}$$

D'après le résultat précédent, on a

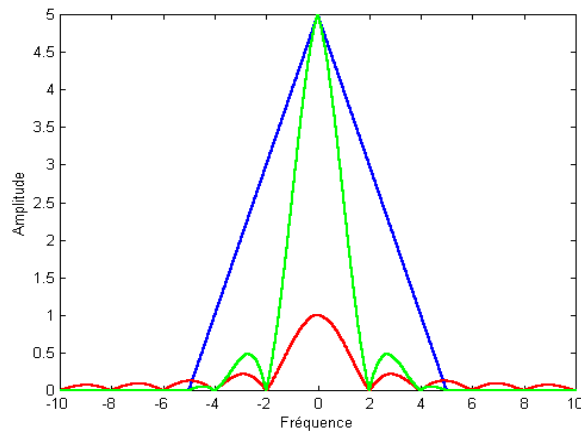
$$\tilde{X}_e(f) = F_e \sum_{n=-\infty}^{+\infty} X(f - nF_e) \cdot H^*(f - nF_e)$$



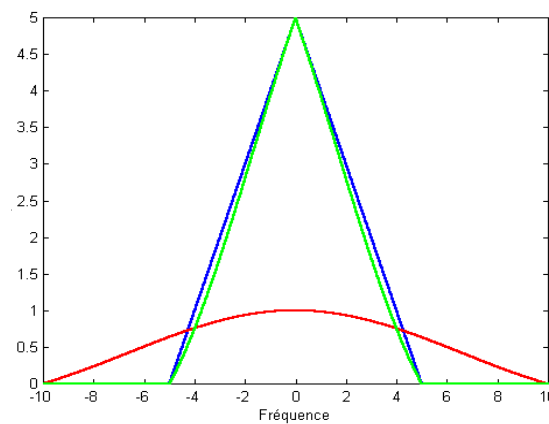
$\tilde{X}_e(f)$ en fonction de ΔT

— $\tilde{X}_e(f)$ — $X(f)$

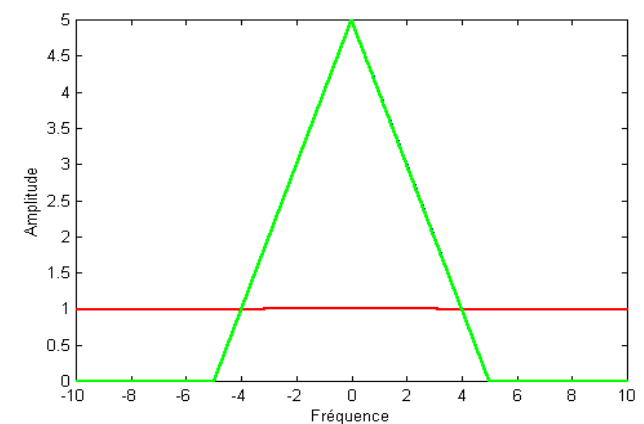
— $|H(f)|$



$F_e = 20$ Hz $\Delta T = 0.5$



$\Delta T = 0.1$



$\Delta T = 0.01$

Cas des signaux à support fréquentiel non borné

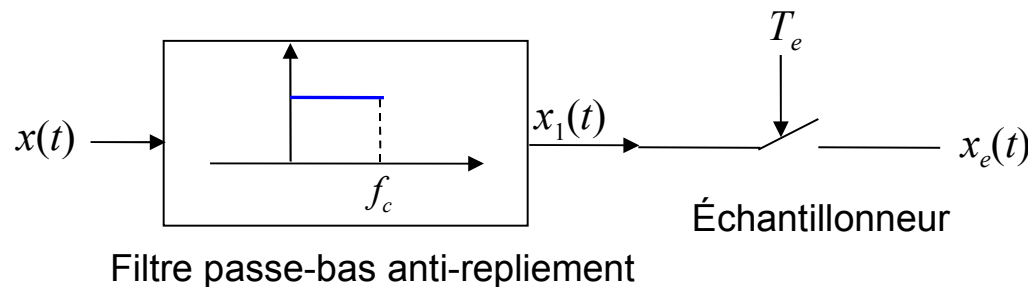
❑ Problème des signaux à large bande

- Dans le cas des signaux à support fréquentiel infini, il est impossible de définir une notion de fréquence maximale. Quelque soit la fréquence d'échantillonnage F_e , il y a toujours repliement de spectre.
- Les signaux réels comportent souvent une composante fréquentielle à large bande due à la présence de bruit (perturbations aléatoires), ce qui imposerait une fréquence F_e importante.

❑ Solution : filtrage anti-repliement

On va numériser un signal $x_1(t)$, qui sera le résultat d'un filtrage passe-bas idéal du signal $x(t)$ à support fréquentiel infini ou à large bande.

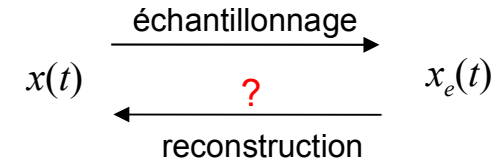
D'une manière générale, afin de garantir la condition de Shannon, il faut utiliser un filtre passe-bas anti-repliement de fréquence de coupure f_c inférieure à $F_e/2$.



La reconstruction

□ Problématique

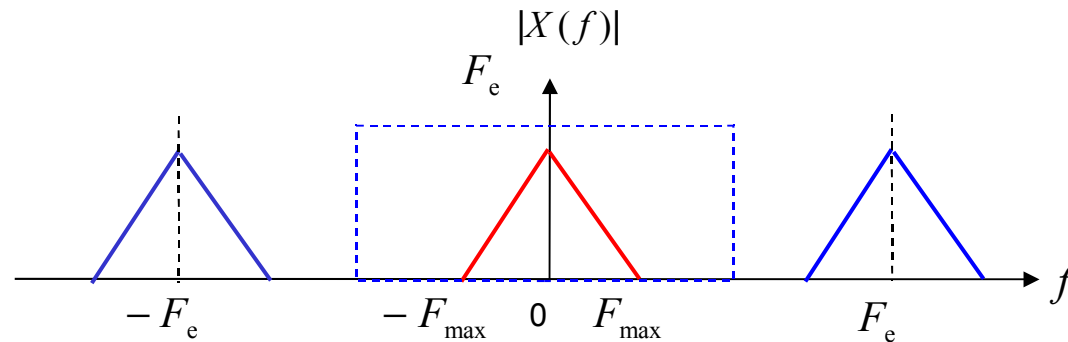
On a échantillonné un signal $x(t)$ en respectant le théorème de Shannon, comment fait-on pour le reconstruire à partir des échantillons?



- Hypothèses :**
- La condition de Shannon a été respectée lors de l'échantillonnage ($x(t)$ est à support borné en fréquence ou filtrage anti-repliement)
 - Échantillonnage idéal

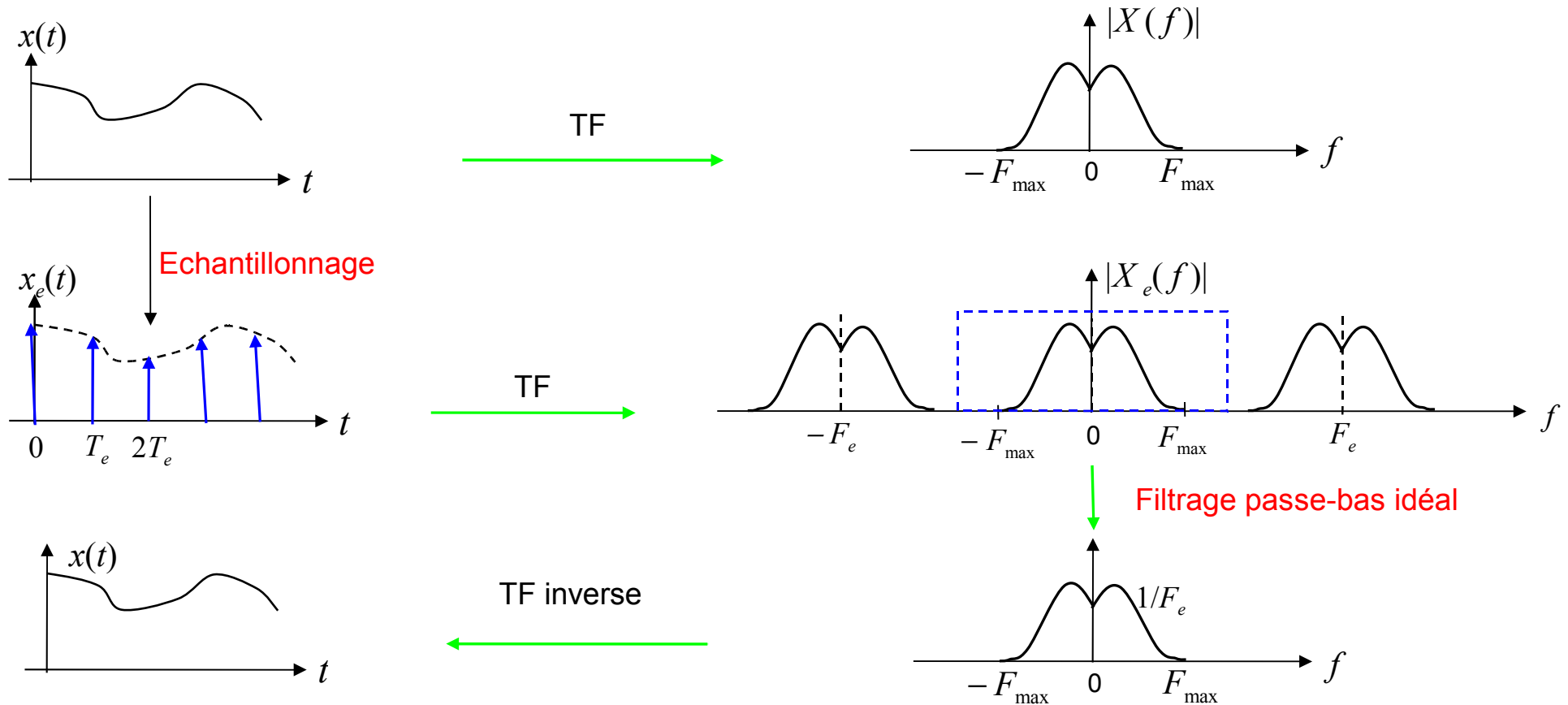
Solution : pour reconstruire le signal, il suffit de prendre la TF inverse du motif de base de $X_e(f)$.

- Filtrage passe bas idéal
- Diviser par F_e
- Puis TF inverse



La reconstruction

Illustration



Problème :

- Filtre idéal \Rightarrow la connaissance de tous les échantillons $x(nT_e)$ est nécessaire pour reconstruire le signal
- Reconstruction mathématiquement possible, mais physiquement irréalisable car le filtre passe-bas idéal n'est pas causal \rightarrow interpolation physiquement non réalisable.

La reconstruction

□ Extrapoleur d'ordre 0 (bloqueur d'ordre zéro, BOZ)

On se propose ici d'étudier une méthode de reconstruction causale.

◆ Principe

L'idée est simplement de maintenir l'échantillon $x(nT_e)$ jusqu'à l'apparition de l'échantillon $x(nT_e + T_e)$.

$$x_0(t) = x(nT_e) \quad \text{pour } nT_e \leq t < (n+1)T_e \quad \text{et } \forall n$$

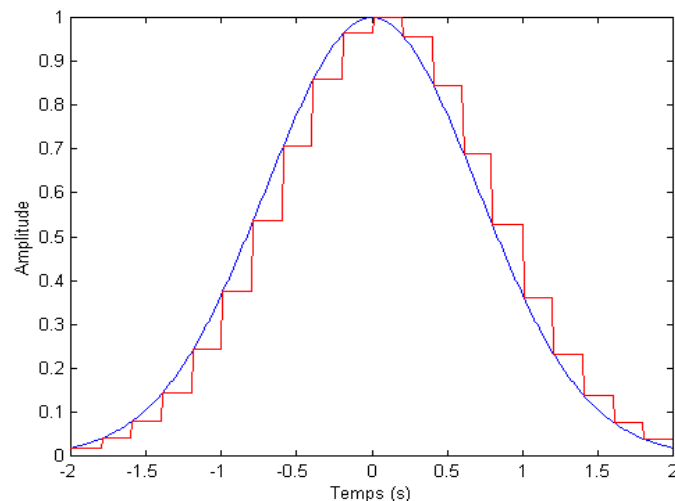
$$\text{On peut encore l'écrire } x_0(t) = \sum_{n=-\infty}^{+\infty} x(nT_e) \Pi_{T_e}(t - T_e/2 - nT_e)$$

Conséquences en fréquence ? => Calcul de la TF de $x_0(t)$.

En remarquant qu'on peut écrire aussi :

$$x_0(t) = \underbrace{\left[\sum_{n=-\infty}^{+\infty} x(nT_e) \delta(t - nT_e) \right]}_{x_e(t)} * \Pi_{T_e}(t - T_e/2) \quad \text{on obtient} \quad X_0(f) = \text{sinc}(\pi f T_e) \cdot e^{-j\pi f T_e/2} \underbrace{\left(\sum_{n=-\infty}^{+\infty} X(f - nF_e) \right)}_{\frac{1}{F_e} X_e(f)}$$

Le spectre d'amplitude du signal reconstruit par le BOZ est celui du signal échantillonné déformé par le terme $\text{sinc}(\pi f T_e)$. (rmq : l'expo est strictement complexe : pas de modif d'amplitude, mais une modification de la phase due au décalage temporel de $T_e/2$)



La reconstruction

Interprétation de l'extrapoleur d'ordre 0

La TF du signal reconstruit par l'extrapoleur d'ordre 0 s'écrit

$$X_0(f) = \text{sinc}(\pi f T_e) \cdot e^{-j\pi f T_e} \left(\sum_{n=-\infty}^{+\infty} X(f - nF_e) \right)$$

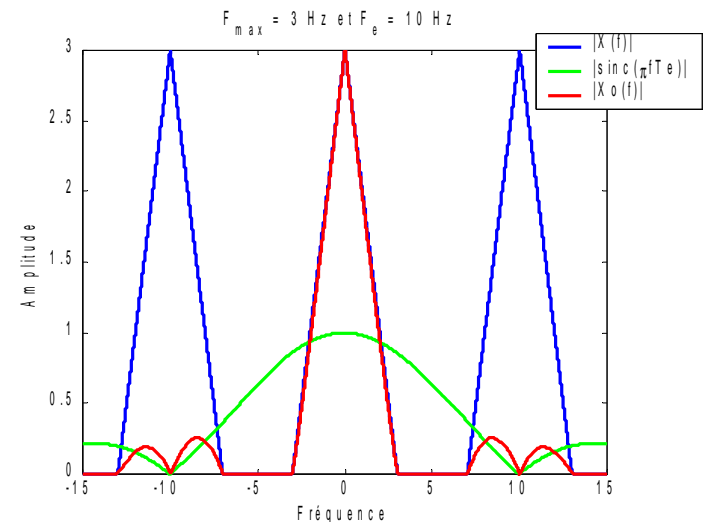
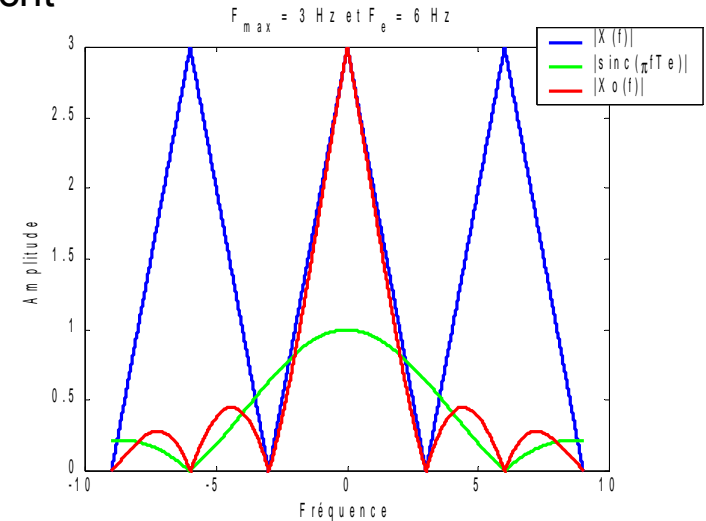
$X_0(f)$ = spectre du signal échantillonné pondéré par la TF du signal porte de reconstruction

◆ Constats

- 1- Déformation de la bande centrale entre $[-F_e/2, F_e/2]$.
- 2- Présence de composantes hautes fréquences.

◆ Atténuation des distorsions

- 1- Augmentation de F_e .
- 2- On peut ainsi choisir pour le filtre passe-bas une $f_c < F_e/2$



La quantification

□ Rôle

Approximer chaque valeur du signal échantillonné $x_e(t)$ par un multiple entier d'une quantité élémentaire q appelée "**pas de quantification**" ou **quantum**.

Si q est constant quelle que soit l'amplitude du signal, on parle de **quantification uniforme**.

Dans tous les cas, la quantification est une **perte d'information**.

□ Principe

Il existe principalement deux modes de quantification

- par arrondi : si $\left(N - \frac{1}{2}\right) \cdot q \leq x_e(t) < \left(N + \frac{1}{2}\right) \cdot q$

alors à $x_e(t)$ on associe le code N ou la valeur Nq

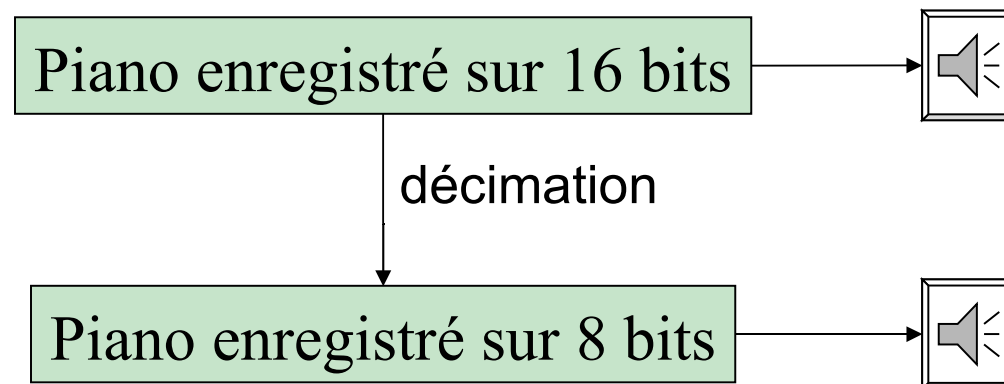
- par troncature : si $Nq \leq x_e(t) < (N + 1) \cdot q$

alors à $x_e(t)$ on associe le code N ou la valeur Nq

La quantification introduit une erreur modélisable mathématiquement, et que l'on peut considérer comme une variable aléatoire.

La quantification

| Résolutions en quantification linéaire | | |
|--|--|--|
| Bits par échantillon | Plage dynamique approximative avec bruit de dispersion | Application |
| 8 | 44 dB | Qualité basse/Modérée pour multimédia En cours de péremption |
| 12 | 68 dB | Anciens échantillonneurs Akai |
| 14 | 80 dB | Format EIAJ d'origine des adapteurs PCM (Sony) |
| 16 | 92 dB | Standard CD - DAT Résolution grand public haute qualité |
| 20 | 116 dB | Enregistrement professionnel Haute qualité |
| 24 | 140 dB | Résolution professionnelle de très haute qualité Dépasse les besoins psycho acoustique |



❏ Conclusions :

- ❑ La condition de Shannon garantit la non perte d'information, dans le cas idéal!
- ❑ Dans le cas pratique, il y a des distorsions dans le signal échantillonné
 - échantillonnage réel
 - reconstruction par extrapolation
- ❑ Des précautions sont à prendre afin que le signal échantillonné et le signal reconstruit à partir des échantillons soient les plus fidèles possibles au signal original.

❏ Bibliographie :

- Bellanger M, Traitement numérique du signal, Dunod, 1998.
- Picinbono B, Théorie des signaux et des systèmes, Dunod, 1993
- Cottet F, Traitement des signaux et acquisition de données, Dunod, 1997

